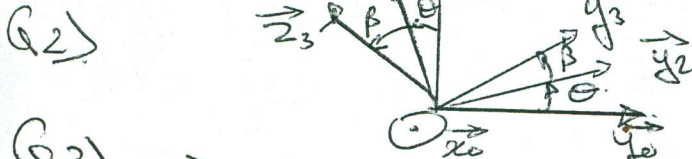


DM de SI Calcul vectoriel.

Exercice 4:

Q1) $\vec{OG_3} = \vec{OE} + \vec{EF} + \vec{FG_3} = y \sin(t) \vec{y_0} - L \vec{z_2} - h \vec{z_3}$



Q2) $\vec{y_2} = \cos \theta \vec{y_0} + \sin \theta \vec{z_0}$

$\vec{y_3} = \cos(\theta + \beta) \vec{y_0} + \sin(\theta + \beta) \vec{z_0}$

$\vec{y_0} = \cos(\theta + \beta) \vec{y_3} - \sin(\theta + \beta) \vec{z_3}$

Q4) $\vec{OG_3} \cdot \vec{y_0} = y \sin(t) + L \sin \theta + h \sin(\theta + \beta) \quad (\text{projection de } \vec{OG_3} \text{ sur } \vec{y_0})$

$\vec{OG_3} \cdot \vec{z_0} = -L \cos \theta - h \cos(\theta + \beta) \quad (\text{projection de } \vec{OG_3} \text{ sur } \vec{z_0})$

Q5) $(L + h) \Delta \theta = \pm 20 \text{ cm} = 0,2 \quad | \Delta \theta = \frac{0,2}{L + h} = \frac{0,2}{63} = 0,0317 \text{ rad} = 1,8^\circ$

Q6) Le problème est plan, toutes les rotations sont suivant $\vec{z_0}$. or $\vec{z_2} \perp \vec{z_0} = \vec{0}$ car il s'agit d'une translation.

d'où $\vec{z_3} \perp \vec{z_0} = \vec{z_3} \perp \vec{z_2} + \vec{z_2} \perp \vec{z_0} = (\dot{\theta} + \dot{\beta}) \vec{z_0}$.

Q7) $\frac{d \vec{z_2}}{dt} \Big|_{B_0} = \frac{d \vec{z_2}}{dt} \Big|_{B_2} + \vec{z_2} \perp \vec{z_0} =$

$\frac{d \vec{y_3}}{dt} \Big|_{B_0} = \frac{d \vec{y_3}}{dt} \Big|_{B_3} + \vec{z_3} \perp \vec{y_3} = (\dot{\theta} + \dot{\beta}) \vec{z_0} \perp \vec{y_3} = (\dot{\theta} + \dot{\beta}) \vec{z_0} \perp \vec{z_3}$

Q8) $\vec{V}(G_3, 3/0) = \frac{d \vec{OG_3}}{dt} \Big|_{B_3} = \dot{y} \sin(t) \vec{y_0} + L \dot{\theta} \vec{y_2} + h (\dot{\theta} + \dot{\beta}) \vec{y_3}$
 Rq: $\frac{d \vec{z_3}}{dt} \Big|_{B_0} = -(\dot{\theta} + \dot{\beta}) \vec{y_3}$

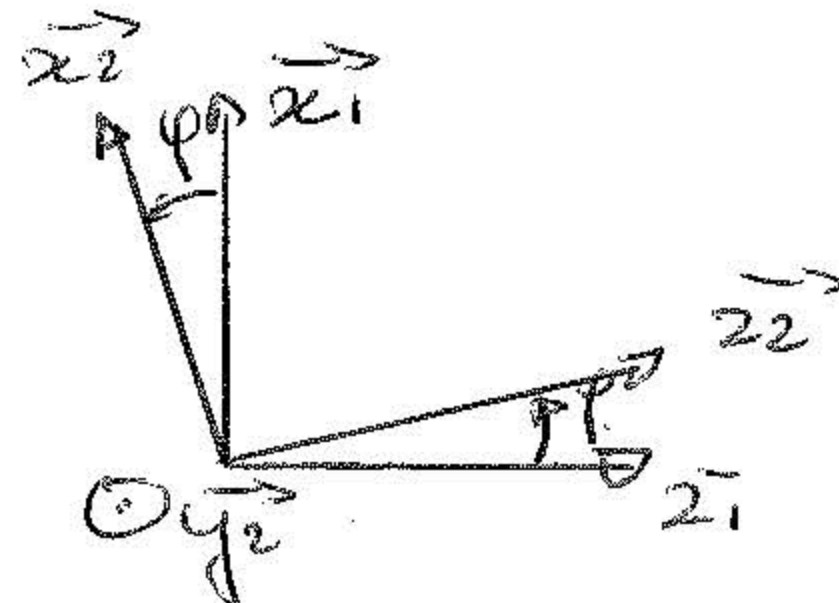
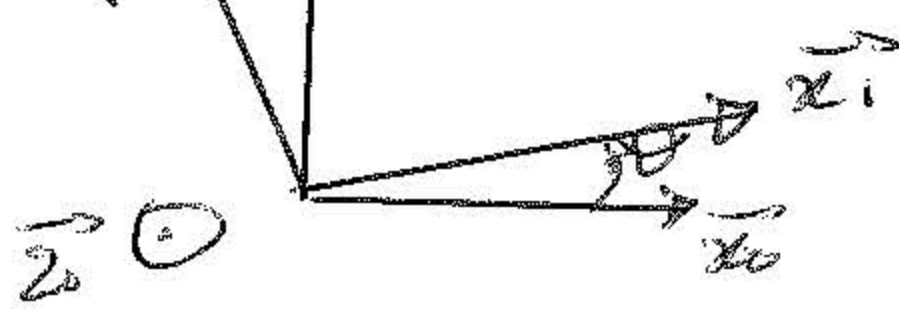
Q9) $\vec{F}_{3/0}(G_3) = \ddot{y} \sin(t) \vec{y_0} + L \ddot{\theta} \vec{y_2} + L \dot{\theta}^2 \vec{z_2} + h (\ddot{\theta} + \ddot{\beta}) \vec{y_3} + h (\dot{\theta} + \dot{\beta})^2 \vec{z_3}$

Q10) $\vec{F}_{3/0}(G_3) = \ddot{y} \sin(t) (\cos \theta \vec{y_2} - \sin \theta \vec{z_2}) + L \ddot{\theta} \vec{y_2} + L \dot{\theta}^2 \vec{z_2} + h (\ddot{\theta} + \ddot{\beta}) (\cos \beta \vec{y_2} + \sin \beta \vec{z_2}) + h (\dot{\theta} + \dot{\beta})^2 (\cos \beta \vec{z_2} - \sin \beta \vec{y_2})$

2- Centrifugeuse de Laboratoire.

$$Q11) \quad \vec{OB} = \vec{OA} + \vec{AB} = R\vec{x}_1 + L\vec{x}_2$$

$$Q12) \quad \vec{y}_1, \theta, \vec{y}_2$$



$$Q13) \quad \vec{z}_2 = \cos \varphi \vec{x}_1 + \sin \varphi \vec{x}_2.$$

$$Q14) \quad \vec{y}_2 = \cos \theta \vec{y}_1 + \sin \theta \vec{x}_1 = \cos \theta \vec{y}_2 + \sin \theta (\cos \varphi \vec{x}_2 + \sin \varphi \vec{x}_1).$$

$$Q15) \quad \vec{OB} \cdot \vec{x}_1 = R + L(\vec{x}_2 \cdot \vec{x}_1) = R + L \cos \varphi.$$

$$Q16) \quad \vec{x}_2 \cdot \vec{x}_0 = - \sin \varphi \vec{y}_2.$$

$$Q17) \quad \vec{\omega}_{B0} = \vec{\theta}_{B0} \quad \vec{\omega}_{2/B} = \dot{\varphi} \vec{y}_2.$$

$$\vec{\omega}_{2/B} = \vec{\omega}_{2/B} + \vec{\omega}_{B0} = \vec{\theta}_{B0} + \dot{\varphi} \vec{y}_2.$$

$$Q18) \quad \vec{V}_{B2/B} = R \vec{\theta}_{B0} + L \left. \frac{d \vec{x}_2}{dt} \right|_{B_0}.$$

$$\left. \frac{d \vec{x}_2}{dt} \right|_{B_0} = \left. \frac{d \vec{x}_2}{dt} \right|_{B_2} + (\vec{\theta}_{B_2} + \dot{\varphi} \vec{y}_2) \wedge \vec{x}_2 \\ = \vec{\theta}_{B_2} \cos \varphi \vec{y}_2 - \dot{\varphi} \vec{x}_2$$

$$\vec{V}_{B2/B} = R \vec{\theta}_{B0} + L(\vec{\theta}_{B_2} \cos \varphi \vec{y}_2 - \dot{\varphi} \vec{x}_2).$$

$$Q19) \quad \vec{F}_{B2/B} = \left. \frac{d \vec{V}_{B2/B}}{dt} \right|_{B_0}$$

$$= R \vec{\theta}_{B0} + R \left. \frac{d \vec{y}_2}{dt} \right|_{B_0} + L \left. \frac{d \vec{\theta}_{B_2}}{dt} \right|_{B_0} \cos \varphi \vec{y}_2 \\ - L \vec{\theta}_{B_2} \dot{\varphi} \sin \varphi \vec{y}_2 + L \left. \frac{d \vec{y}_2}{dt} \right|_{B_0} \cos \varphi \\ - L \dot{\varphi} \vec{x}_2 - L \left. \frac{d \vec{x}_2}{dt} \right|_{B_0}$$

6.19) Seite

$$* \frac{d\vec{g}_1}{dt} \Big|_{B_0} = \frac{d\vec{g}_1}{dt} \Big|_{B_0} + \vec{\omega}_{B_0} \times \vec{g}_1 = -\vec{\omega} \vec{x}_1$$

$$* \frac{d\vec{g}_2}{dt} \Big|_{B_0} = \frac{d\vec{g}_2}{dt} \Big|_{B_0} = -\vec{\omega} \vec{x}_1$$

$$* \frac{d\vec{z}_2}{dt} \Big|_{B_0} = \frac{d\vec{z}_2}{dt} \Big|_{B_0} + (\vec{\omega} \vec{y}_2 + \vec{\omega} \vec{z}_1) \times \vec{z}_2 \\ = \vec{f}_{x_2} + \vec{\omega} \sin \varphi \vec{y}_2$$

$$\vec{r}_{B20} = \begin{cases} -R\vec{\omega}^2 \cos \varphi - L\vec{\omega}^2 \cos^2 \varphi - 2\dot{\varphi}^2 \vec{x}_2 \\ (R\vec{\omega}^2 + L\vec{\omega}^2 \cos \varphi - L\vec{\omega}^2 \sin \varphi - 2\dot{\varphi}\vec{\omega}^2 \sin \varphi) \vec{y}_2 \\ -R\vec{\omega}^2 \sin \varphi - L\vec{\omega}^2 \cos \varphi \sin \varphi - 2\dot{\varphi} \vec{z}_2 \end{cases}$$

6.20) $\vec{\omega} = \vec{\omega}_0 \cos \varphi \vec{x}_0; \vec{\omega} = \vec{\omega}_0; \varphi = \text{ste} \Rightarrow \dot{\varphi} = 0$

$$\vec{r}_{B20} = \begin{cases} R\vec{\omega}^2 \cos \varphi - L\vec{\omega}^2 \cos^2 \varphi \vec{x}_2 \\ -R\vec{\omega}^2 \sin \varphi - L\vec{\omega}^2 \cos \varphi \sin \varphi \vec{z}_2 \end{cases}$$

$$\|\vec{r}_{B20}\| = R\vec{\omega}^2 + L\vec{\omega}^2 \cos \varphi$$

$$\bullet N = 600 \text{ tr/min} \xrightarrow{\text{A.W.}} \|\vec{r}_{B20}\| = \left(\frac{600 \cdot \pi}{60} \right)^2 [9,45 + 9,1 \cos 9] \\ \hookrightarrow \varphi = 90^\circ \\ = 109,12 \text{ m/s}^2$$

$$\bullet N = 10000 \text{ tr/min} \xrightarrow{\text{A.W.}} \|\vec{r}_{B20}\| = \left(\frac{10000 \cdot \pi}{60} \right)^2 [9,45 + 9,1 \cos 1] \\ = 274,10^3 \text{ m/s}^2 \\ = 279466$$

Exercice 3:

Q21) $A_2: (R, 0, 0)$.

$$A_2: \left(R \cos \frac{2\pi}{3}; R \sin \frac{2\pi}{3}; 0 \right) = \left(-\frac{R}{2}; \frac{R\sqrt{3}}{2}; 0 \right).$$

$$A_3: \left(R \cos \frac{4\pi}{3}; R \sin \frac{4\pi}{3}; 0 \right) = \left(-\frac{R}{2}; -\frac{R\sqrt{3}}{2}; 0 \right).$$

Q22) $\overrightarrow{MB_1} = \overrightarrow{MO} + \overrightarrow{OA_1} + \overrightarrow{A_1B_1}$

$$= (-x\vec{x} - y\vec{y} - z\vec{z} + R\vec{x} + d_1\vec{z})$$

$$= (R-x)\vec{x} - y\vec{y} + (d_1 - z)\vec{z}.$$

Q23) $\|\overrightarrow{MB_1}\| = L = \sqrt{(R-x)^2 + y^2 + (d_1 - z)^2}$

On élimine les 2 termes de l'équation au carré.

$$L^2 = (R-x)^2 + y^2 + (d_1 - z)^2.$$

$$(d_1 - z)^2 = L^2 - (R-x)^2 - y^2.$$

$$(d_1 - z) = \sqrt{L^2 - (R-x)^2 - y^2}$$

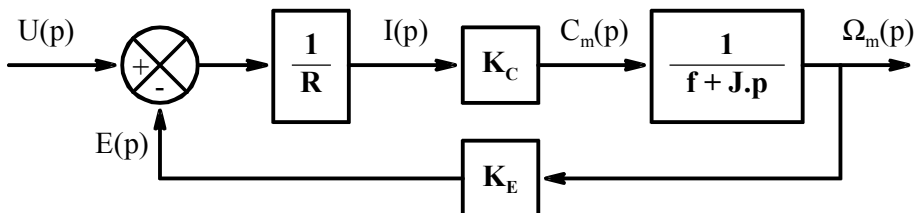
$$d_1 = \sqrt{L^2 - (R-x)^2 - y^2} + z$$

1^{ère} partie : Modélisation du motoréducteur

1.1- Les conditions initiales étant nulles, donner la transformée de Laplace des équations sont:

$$U(p) = E(p) + R \cdot I(p) \quad E(p) = K_E \cdot \Omega(p) \quad C_p(p) = (f + J \cdot p) \cdot \Omega(p) \quad C_p(p) = K_C \cdot I(p)$$

On en déduit le schéma bloc modélisant le motoréducteur :



1.2- On en déduit l'expression de la fonction de transfert du motoréducteur : $H_m(p) = \frac{\Omega(p)}{U(p)}$:

$$H_m(p) = \frac{\frac{K_C}{R.f + R.J.p}}{1 + \frac{K_C \cdot K_E}{R.f + R.J.p}}$$

Soit après calcul :

$$H_m(p) = \frac{\frac{K_C}{K_C \cdot K_E + R.f}}{1 + \frac{R.J}{K_C \cdot K_E + R.f} \cdot p}$$

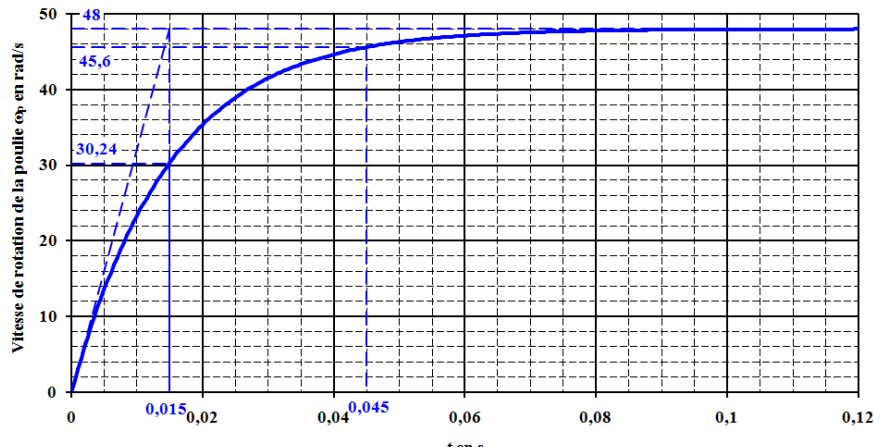
1.3- D'où des éléments caractéristiques de cette fonction de transfert :

Le gain statique : $K_m = \frac{K_C}{K_C \cdot K_E + R.f}$ et la constante de temps : $\tau = \frac{R.J}{K_C \cdot K_E + R.f}$

1.4- La tangente à l'origine de la courbe expérimentale n'étant pas horizontale, la fonction de transfert du moteur est une fonction de transfert du premier ordre. de la forme : $H_m(p) = \frac{K_m}{1 + \tau \cdot p}$

On relève sur cette courbe l'expérimentale :

- ☛ Une valeur finale de 48 rad.s^{-1} .
- ☛ La date à laquelle la courbe atteint 63% de la valeur finale ($30,24 \text{ rad.s}^{-1}$) : $t = \tau = 0,015 \text{ s}$
- ☛ La date à laquelle la courbe atteint 95% de la valeur finale ($45,6 \text{ rad.s}^{-1}$) : $t_{95\%} = 3 \cdot \tau = 0,045 \text{ s}$
- ☛ L'abscisse à laquelle la tangente à l'origine coupe l'horizontale correspondant à la valeur finale : $t = \tau = 0,015 \text{ s}$



Le premier relevé permet de déterminer le gain statique : $K_m = \frac{48}{24} = 2 \text{ rad.s}^{-1} \cdot V^{-1}$

Les trois autres relevé la même constante de temps : $\tau = 0,015 \text{ s}$

D'où l'expression de la fonction de transfert du moteur : $H_m(p) = \frac{2}{1 + 0,015.p}$

$$1.5-\text{Ayant } K_m = \frac{K_C}{K_C \cdot K_E + R \cdot f}$$

$$\text{On en déduit : } f = \frac{K_C - K_m \cdot K_C \cdot K_E}{R \cdot K_m}$$

D'où le coefficient de frottement visqueux :

$$f = \frac{0,4 - 0,4 \times 0,4 \times 2}{0,12 \times 2} = 0,333 \text{ N.m.s.rad}^{-1}$$

$$\text{D'autre part ayant } \tau = \frac{RJ}{K_C \cdot K_E + R \cdot f}$$

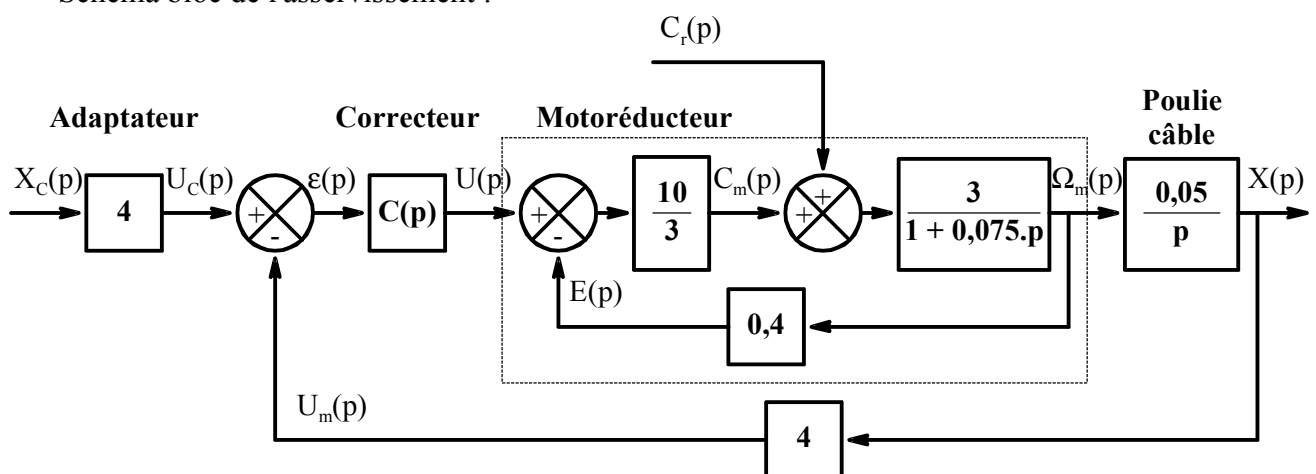
$$\text{On en déduit : } J = \frac{\tau \cdot (K_C \cdot K_E + R \cdot f)}{R}$$

D'où l'inertie des pièces en mouvement :

$$J = \frac{0,015 \cdot (0,4 \times 0,4 + 0,12 \times 0,333)}{0,12} = 2,5 \cdot 10^{-2} \text{ kg.m}^2$$

2^{ème} partie : Condition sur le gain du correcteur en fonction de la consigne.

Schéma bloc de l'asservissement :



2.1- Du schéma bloc on calcule la fonction de transfert du moteur pour une perturbation nulle :

$$H_m(p) = \frac{\Omega_p(p)}{U(p)} = \frac{\frac{10}{1 + 0,075p}}{1 + \frac{4}{1 + 0,075p}} = \frac{10}{5 + 0,075p}$$

On en déduit la fonction de transfert de l'asservissement pour une perturbation nulle :

$$H_1(p) = \frac{X(p)}{X_c(p)} = 4 \cdot \frac{\frac{10 \cdot K_p \cdot 0,05}{5 \cdot p + 0,075 \cdot p^2}}{1 + \frac{10 \cdot K_p \cdot 0,05 \times 4}{5 \cdot p + 0,075 \cdot p^2}} = \frac{2 \cdot K_p}{2 \cdot K_p + 5 \cdot p + 0,075 \cdot p^2}$$

Soit sous sa forme canonique :

$$H_1(p) = \frac{1}{1 + \frac{2,5}{K_p} \cdot p + \frac{0,0375}{K_p} \cdot p^2}$$

2.2- Cette fonction de transfert est donc une fonction de transfert du second ordre avec :

☞ Un gain statique de :

$$K_1 = 1$$

☞ Une pulsation propre non amortie de :

$$\omega_0 = \sqrt{\frac{K_p}{0,0375}}$$

☞ Un facteur d'amortissement de :

$$m = \frac{1}{2} \cdot \sqrt{\frac{K_p}{0,0375}} \cdot \frac{2,5}{K_p} = \frac{1,25}{\sqrt{0,0375 \cdot K_p}}$$

2.3- Le gain de cette fonction de transfert étant de 1, l'erreur statique en réponse à un échelon de consigne est nulle. **Le critère de précision du cahier des charges est donc vérifié.**

2.4- Cette fonction de étant du second ordre il n'y aura pas de dépassement de la valeur finale en réponse à un échelon de consigne si le facteur d'amortissement est supérieur à 1. Soit $\frac{1,25}{\sqrt{0,0375 \cdot K_p}} > 1$

D'où la condition sur le gain du correcteur : $K_p \leq \frac{1,25^2}{0,0375}$ soit: $K_p \leq 41,6$

3^{ème} partie : Condition sur le gain du correcteur en fonction de la perturbation.

3.1- Etant donné l'équivalence des schémas blocs on en déduit :

$$F_1(p) = \frac{10}{3} \quad F_2(p) = 0,4 \cdot \frac{p}{0,05} = 8.p \quad \text{et:} \quad F_3(p) = 4.K_p$$

On en déduit également: $F_4(p) = F_1(p) \times [F_2(p) + F_3(p)] = \frac{10}{3} \cdot (8.p + 4.K_p)$

3.2- Du 2^{ème} schéma bloc équivalent on en déduit la fonction de transfert pour une consigne nulle :

$$H_2(p) = \frac{X(p)}{C_r(p)} = \frac{\frac{0,15}{p + 0,075 \cdot p^2}}{1 + \frac{0,15}{p + 0,075 \cdot p^2} \cdot \frac{10}{3} \cdot (8.p + 4.K_p)} = \frac{0,15}{p + 0,075 \cdot p^2 + 4.p + 2.K_p}$$

Soit sous sa forme canonique :

$$H_2(p) = \frac{\frac{0,075}{K_p}}{1 + \frac{2,5}{K_p} \cdot p + \frac{0,0375}{K_p} \cdot p^2}$$

3.3- Cette fonction de transfert est donc une fonction de transfert du second ordre avec :

☞ Un gain statique de : $K_2 = \frac{0,075}{K_p}$

☞ Une pulsation propre non amortie de : $\omega_0 = \sqrt{\frac{K_p}{0,0375}}$

☞ Un facteur d'amortissement de : $m = \frac{1}{2} \cdot \sqrt{\frac{K_p}{0,0375}} \cdot \frac{2,5}{K_p} = \frac{1,25}{\sqrt{0,0375 \cdot K_p}}$

3.4- L'erreur de position induite par le couple résistant ΔX sera la valeur finale de $x(t)$ soit $x(\infty)$ pour une consigne nulle et un couple résistant constant de C_{r0} .

Or dans ce cas : $X(p) = C_{r0}(p) \cdot H_2(p)$ avec: $C_{r0}(p) = \frac{C_{r0}}{p}$

On en déduit donc que : $\Delta X = K_2 \cdot C_{r0}$ D'où: $\Delta X = \frac{0,075}{K_p} \cdot C_{r0}$

3.5- Le cahier des charges sur la précision sera respecté pour : $\Delta X \leq 2 \text{ mm} = 2 \cdot 10^{-3} \text{ m}$

Pour un couple résistant de 0,4 N.m on a donc: $\frac{0,075}{K_p} \times 0,4 \leq 2 \cdot 10^{-3}$ soit: $K_p \geq 15$

4^{ième} partie : Rapidité du système

4.1- On a vu dans les 2^{ième} et 3^{ième} parties que pour respecter le cahier des charges il faut un gain du correcteur tel que : $15 \leq K_p \leq 41$.

Or comme le facteur d'amortissement m de la fonction de transfert est supérieure à 1 (pour ne pas avoir de dépassement), plus le gain du correcteur est important plus le système est rapide.

D'où le choix d'un gain du correcteur K_p de 41, correspondant à $m \approx 1$.

4.2- La valeur du facteur d'amortissement étant de 1, l'abaque donne : $t_{5\%} \cdot \omega_0 \approx 4,5$

$$\text{Or : } \omega_0 = \sqrt{\frac{K_p}{0,0375}} \quad \text{Soit : } \omega_0 = \sqrt{\frac{41}{0,0375}} = 33,1 \text{ rad/s}$$

$$\text{D'où le temps de réponse à } 5\% \text{ du système : } t_{5\%} = \frac{4,5}{\omega_0} = \frac{4,5}{33,1} = 0,14 \text{ s}$$

4.3- Au temps de réponse à 5% le chariot sera à 5% de sa valeur finale.

Or les tubes sont espacés de $12 \text{ cm} = 120 \text{ mm}$, donc au temps de réponse à 5%, on est à :

$120 \times 0,05 = 6 \text{ mm}$ de la position désirée ce qui est supérieur à la précision attendue de 2 mm.

On ne peut donc pas effectuer un cliché des tubes avec un intervalle de temps correspondant au temps de réponse à 5% soit 0,14 s.

4.4- Si les tubes sont espacés de $24 \text{ cm} = 0,24 \text{ m}$, comme le gain de l'adaptateur est de 4 V.m^{-1} , la tension de consigne sera de : $u_C = 0,24 \times 4 = 0,96 \text{ V}$.

D'autre part au début du déplacement la position étant nulle, la tension mesurée u_m est nulle. Donc au début du déplacement l'écart entre ces deux tensions est de $\epsilon = 0,96 \text{ V}$.

Le gain du correcteur étant de $K_p = 41$ cela induit qu'il faut alimenter le moteur à courant continu avec une tension de : $u = 41 \times 0,96 = 39,4 \text{ V}$. Ce qui est impossible car la tension d'alimentation du moteur est limitée à 24 V. Il y aura donc une saturation au niveau de l'alimentation du moteur.

Cette saturation induit donc que le système n'est plus linéaire, et donc que le temps de réponse à 5% ne peut plus se calculer avec un système linéaire (SLCI) comme fait ci-dessus.

Donc avec des tubes espacés de 24 cm le temps de réponse à 5% sera donc plus long.